

On the Model for the Orr–Sommerfeld Equation with Quadratic Profile

A. A. Shkalikov^(a) and S. N. Tumanov^(b)

Department of Mechanics and Mathematics,
Moscow State University,
Moscow, Russia

^(a) *e-mail:* ashkalikov@yahoo.com

^(b) *e-mail:* tumanov@art-com.ru

Abstract

The model for Orr–Sommerfeld equation with quadratic profile on the finite interval is considered. The behavior of the spectrum of this problem is completely investigated for large Reynolds numbers. The limit curves are found to which the eigenvalues concentrate and the counting eigenvalue functions along these curves are obtained.

О модельной задаче для уравнения Орра-Зоммерфельда с квадратичным профилем

С. Н. Туманов^(a) и А. А. Шкаликов^(b)

Механико-математический факультет,
Московский Государственный Университет,
Москва, Россия

^(a) *e-mail:* tumanov@art-com.ru

^(b) *e-mail:* ashkalikov@yahoo.com

Аннотация

Рассматривается модельная задача для уравнения Орра-Зоммерфельда с произвольным квадратичным профилем. Полностью изучено поведение спектра для больших чисел Рейнольдса. Найдены предельные кривые, около которых концентрируются собственные значения, и получены функции распределения собственных значений вдоль этих кривых.

1 Введение

В работе изучается семейство дифференциальных операторов

$$L(\varepsilon)y = i\varepsilon y'' + q(x)y, \quad \varepsilon > 0 \quad (1.1)$$

на вещественном отрезке $[a, b]$ с краевыми условиями:

$$y(a) = y(b) = 0 \quad (1.2)$$

при $\varepsilon \rightarrow 0$.

Рассматриваемая задача является моделью для известного в гидродинамике уравнения Орра–Зоммерфельда с профилем Пуазейля. Некоторые аргументы, поясняющие, что спектральная задача (1.1), (1.2) может служить моделью для уравнения Орра–Зоммерфельда, приведены в [1]. Однако, только в недавней работе автора и Шкаликова [4] дано строгое доказательство того, что спектральные портреты при $\varepsilon \rightarrow 0$ модельной и реальной задач совпадают.

Число $\varepsilon > 0$ играет роль малого параметра. Отметим, что $\varepsilon = 1/R$, где R – число Рейнольдса, которое обратно пропорционально вязкости жидкости. Таким образом, малым значениям параметра ε соответствует уравнение движения жидкости близкой к идеальной.

Мы покажем, что при малых значениях ε собственные значения операторов $L(\varepsilon)$ концентрируются около некоторых кривых в комплексной плоскости, вид которых укажем явно. Далее мы найдем асимптотические формулы распределения собственных значений, равномерные по ε , и укажем функции распределения собственных значений вдоль критических линий.

Подобная задача, когда вместо квадратичной функции в уравнении участвует функция $q(x) = x$, изучена в работе [6], где предельное множество, вдоль которого концентрируются собственные значения, названо *спектральным галстуком*. Граф критических линий в изучаемой задаче для $q(x) = \alpha x^2 + \beta x + \gamma$ по форме также напоминает галстук, но только несимметричный. Будем называть его *предельным спектральным графиком*.

Ранее в работе [2] задача (1.1), (1.2) была решена для четного профиля Пуазейля ($q(x) = x^2$ с краевыми условиями Дирихле на отрезке $[-1, 1]$).

Случай монотонного на отрезке профиля течения ранее был рассмотрен в работе [6] А. А. Шкаликова. В ней доказывается, что в этом особом случае предельное множество состоит из трех кривых. В связи с этим, мы будем предполагать, что вершина соответствующей параболы $q(x)$ находится внутри рассматриваемого отрезка. Далее отметим, что случай принадлежности вершины центру отрезка заменой переменных приводится к случаю $q(x) = x^2$ на $[-1, 1]$, в связи с чем, в этой работе будем рассматривать только несимметричные профили.

Дадим ряд важных определений и утверждений.

Определение 1.1. Точками поворота порядка p функции r называются ее нули. Точка поворота z_0 функции называется простой, если она является ее простым нулем. Кратностью точки поворота называется кратность ее как нуля функции r .

Для любой точки поворота z_0 можно ввести многозначную функцию:

$$S(z, z_0) = \int_{z_0}^z \sqrt{p(\zeta)} d\zeta.$$

Определение 1.2. Линией Стокса функции p , выходящей из точки поворота z_0 , называется кривая, для которой

$$\operatorname{Re} S(z, z_0) = 0.$$

Кривая, определяемая уравнением $\operatorname{Im} S(z, z_0) = 0$ называется сопряженной линией Стокса.

Определение 1.3. Комплексом Стокса функции p называется всякое максимальное связное множество, состоящее из линий Стокса. Комплекс Стокса называется простым, если включает лишь одну простую точку поворота. В противном случае комплекс называется сложным.

Определение 1.4. Граф Стокса, состоящий из простых комплексов, называется простым. В противном случае, граф называется сложным.

Определение 1.5. Пара точек a и b имеет критическое расположение относительно простого комплекса Стокса, если одна из них лежит на линии Стокса, а вторая находится либо на соседней линии Стокса, либо в области, ограниченной соседними линиями Стокса, не содержащей линии Стокса, на которой лежит первая точка.

Определение 1.6. Пара точек a и b имеет критическое расположение относительно простого графа Стокса, если она имеет критическое расположение относительно некоторого комплекса Стокса. В случае критического расположения та из точек a и b , которая лежит на линии Стокса называется критической, а число $\lambda \in \Pi$, при котором точки расположены критически, называется сингулярным.

Отметим, что из определения простого комплекса Стокса следует

Лемма 1.1. Из всякой простой точки поворота выходят ровно три линии Стокса под углами $\pm 2\pi/3$ по отношению друг к другу.

Доказательство этого факта несложно и приводится в [5].

Определение 1.7. Графом Стокса функции p называется совокупность всех ее комплексов Стокса.

Пусть функция $p(z, \lambda)$, зависит от параметра λ , рассмотрим семейство ее графов Стокса $\Phi(\lambda)$.

Определение 1.8. Графы $\Phi(\lambda_1)$, $\Phi(\lambda_2)$ эквивалентны, если существует гомеоморфизм

$$\phi : \Phi(\lambda_1) \rightarrow \Phi(\lambda_2),$$

при котором точки поворота переходят в точки поворота.

Определение 1.9. Точка λ_0 называется допустимой, если существует окрестность $O(\lambda_0)$ такая, что для всех точек λ этой окрестности графы $\Phi(\lambda_0)$ и $\Phi(\lambda)$ эквивалентны. В противном случае точка λ_0 называется недопустимой.

Пусть

$$p(z, \lambda) = a_0(\lambda)(z - b_1(\lambda))^{n_1} \cdots (z - b_k(\lambda))^{n_k}, \quad n_j \in \mathbb{N},$$

где b_j — алгебраические функции, $a_0 \not\equiv 0$ — полином.

Положим

$$\Sigma(a, b, \lambda) = \int_a^b \sqrt{p(\zeta, \lambda)} d\zeta.$$

Справедлива следующая лемма (см. [5] §3 п.5):

Лемма 1.2. Пусть I_1 — нули a_0 ; I_2 — множество всех λ : $b_j(\lambda) = b_l(\lambda)$, $j \neq l$; I_3 — множество всех λ , что при некоторых j , l $j \neq l$ $\operatorname{Re} \Sigma(b_j(\lambda), b_l(\lambda), \lambda) = 0$. Тогда множество I всех недопустимых точек есть $I = I_1 \cup I_2 \cup I_3$.

Замечание 1.1. Для функции $p(z, \lambda) = i(z^2 - \lambda)$ имеем

$$I_1 = \emptyset, \quad I_2 = \{0\}, \quad I_3 = \left\{ \lambda \mid \arg \lambda = -\frac{\pi}{4} \right\},$$

т. е. множество недопустимых точек в Π совпадает с лучом $\arg \lambda = -\pi/4$.

Определение 1.10. Максимальные области однолистности функции S , ограниченные линиями Стокса, содержащие точку поворота на своей границе, а внутри — некоторую линию Стокса, будем называть каноническими областями. (Смотри [5]).

Определение 1.11. Тройку (D_j, l_j, a_j) , где a_j — точка поворота, l_j — линия Стокса, выходящая из этой точки поворота, D_j — каноническая область, содержащая l_j , будем называть канонической.

Определение 1.12. Пусть (D_j, l_j, a_j) — каноническая тройка. Ветвь функции $S(z, a_j)$, для которой $\operatorname{Im} S(l_j, a_j) = [0; +\infty)$, будем называть канонической ветвью, соответствующей данной тройке.

В конце работы мы приведем теорему о распределении собственных значений изучаемой задачи. Она будет основана на следующем важном определении:

Определение 1.13. Функция $N(\lambda)$, определенная на

$$T = \gamma \setminus \{\lambda_j\},$$

где $\{\lambda_j\}$, — точки пересечения критических линий и конечные точки графа на вещественной оси, называется предельной спектральной функцией распределения, если для любой пары точек η_1, η_2 , принадлежащей связной компоненте T , найдутся числа $C > 0$ и $\varepsilon_0 > 0$ такие, что в окрестности Υ радиуса $C\varepsilon$ интервала $(\eta_1, \eta_2) \subset T$ при $\varepsilon < \varepsilon_0$ число точек спектра будет равно

$$\mathcal{N}(\Upsilon) = |N(\eta_2) - N(\eta_1)| + O(1), \quad \varepsilon \rightarrow 0$$

Здесь и далее будем обозначать

$$p(x) = i(q(x) - \lambda).$$

2 Постановка задачи и общие замечания о спектре

Итак, рассмотрим краевую задачу (1.1), (1.2). Пусть

$$q(x) = \alpha x^2 + \beta x + \mu, \text{ где } \alpha \neq 0, \beta, \mu \in \mathbf{R},$$

наложим условие принадлежности вершины параболы внутренности отрезка:

$$a < -\frac{\beta}{2\alpha} < b,$$

наложим условие отсутствия четности параболы относительно центра отрезка:

$$-\frac{\beta}{2\alpha} \neq \frac{a+b}{2}.$$

Для произвольного $\theta \in \mathbf{R}$ сделаем замену переменной и параметров:

$$z_1 = \frac{1}{\theta}(z + \frac{\beta}{2\alpha}),$$

$$\lambda_1 = \lambda + \frac{\beta^2}{4\alpha} - \mu,$$

$$u_1 = |\theta|u, \quad u = \frac{1}{\sqrt{\varepsilon}}.$$

В результате замены изучаемая спектральная задача примет вид:

$$y'' = iu_1^2(\alpha\theta^2 z_1 - \lambda_1)y$$

$$y\left(\frac{1}{\theta}\left(a + \frac{\beta}{2\alpha}\right)\right) = y\left(\frac{1}{\theta}\left(b + \frac{\beta}{2\alpha}\right)\right) = 0.$$

Положим $\theta = \pm|\alpha|^{-1/2}$. За счет выбора знака можно добиться близости вершины параболы либо к левому, либо к правому концу отрезка. Обратим внимание, что изменение знака α приводит к отражению спектра относительно мнимой оси. Для доказательства этого факта достаточно рассмотреть комплексное сопряжение уравнения и краевых условий.

В результате сформулируем следующее

Замечание 2.1. Задача (1.1), (1.2) сдвигом переменной и спектрального параметра с возможным его последующим отражением относительно мнимой оси (если $\alpha < 0$), растяжением и приводится к виду:

$$y'' = iu^2(x^2 - \lambda)y,$$

$$y(a_1) = y(b_1) = 0,$$

где $a_1 < 0 < b_1$, $u > 0$, а замена может быть выбрана так, чтобы $|a_1| < |b_1|$.

Основываясь на этом замечании, не ограничивая общности рассуждений, будем рассматривать следующую спектральную задачу:

$$y'' = iu^2(x^2 - \lambda)y, \quad u > 0, \quad (2.3)$$

$$y(a) = y(b) = 0, \quad a < 0 < b, \quad |a| < |b|. \quad (2.4)$$

В работе [2] была отмечена следующая, справедливая для вещественной непрерывной на отрезке функции q ,

Лемма 2.1. *Спектр задачи (1.1), (1.2) состоит из последовательности собственных значений λ_n , лежащих в полуинтервале*

$$\Pi = \left\{ \lambda \in \mathbf{C} \mid \min_{[a,b]} q(x) < \operatorname{Re} \lambda < \max_{[a,b]} q(x), \operatorname{Im} \lambda < 0 \right\},$$

для которых существует предел вещественных частей:

$$\lim_{n \rightarrow \infty} \operatorname{Re} \lambda_n = \frac{1}{b-a} \int_a^b q(x) dx.$$

Замечание 2.2. Применительно к задаче (2.3), (2.4)

$$\Pi = \left\{ \lambda \in \mathbf{C} \mid 0 < \operatorname{Re} \lambda < b^2, \operatorname{Im} \lambda < 0 \right\},$$

$$\lim_{n \rightarrow \infty} \operatorname{Re} \lambda_n = \frac{a^2 + ab + b^2}{3}.$$

3 Граф Стокса

С учетом замечания 2.1 положим

$$q(x) = x^2, \quad p(x) = i(q(x) - \lambda).$$

Введем ветвь $\sqrt{\lambda}$, которую всюду далее будем называть *основной*: $\arg \sqrt{\lambda} \in (-\pi/2, 0)$ при $\operatorname{Im} \lambda < 0$.

Приведенные ниже утверждения доказаны в работах [2] и [3].

Лемма 3.1. *Граф Стокса Γ обладает свойством центральной симметрии относительно точки 0.*

Лемма 3.2. *Граф $\Gamma(\lambda)$ связный тогда и только тогда, когда $\psi = \arg \lambda = -\pi/4$.*

Определение 3.1. Пусть граф Стокса $i(z^2 - \lambda)$ является простым. Тогда он состоит из двух простых комплексов Стокса. Линии Стокса каждого комплекса (по две на комплекс), асимптотически приближающиеся к линиям второго комплекса, называются *внутренними*. Остальные линии (по одной на комплекс) называются *внешними* (см. рис. 1)

Figure 1: Внешние и внутренние линии графа Стокса.

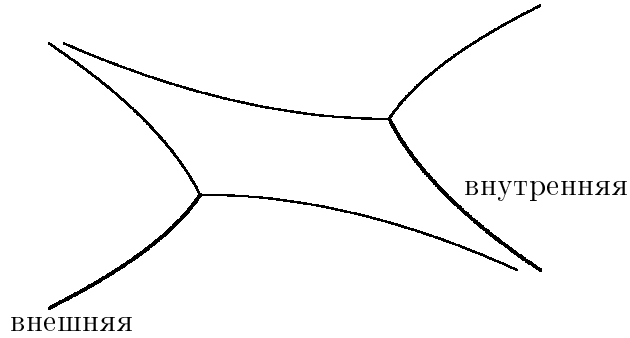
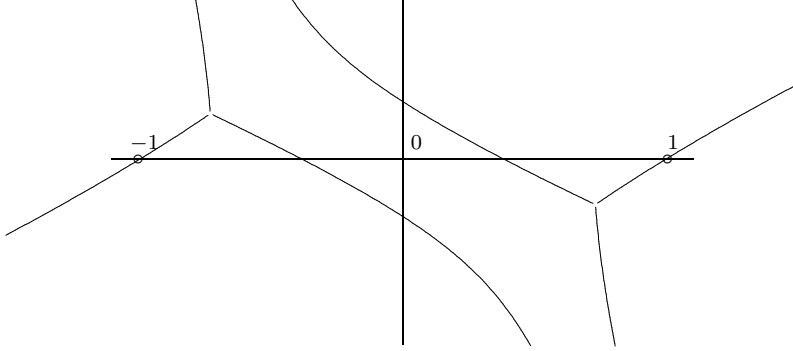


Figure 2: Линии Стокса в случае $\arg \lambda \in (-\pi/4, 0)$ (для $\lambda = 1/2 - i/4$).



Замечание 3.1. В дальнейшем важно понимать, какие области являются каноническими для рассматриваемой функции r . Рассмотрим два случая.

1) $\arg \lambda \neq -\pi/4$. Тогда график $\Gamma(\lambda)$ состоит из двух комплексов Стокса (см. рис. 2, 4), которые разбивают плоскость на области двух типов: типа полосы (область, ограниченная внутренними линиями Стокса) и типа полуплоскости (все остальные области). В этом случае канонические области могут быть двух типов:

- a) области, состоящие из двух областей типа полуплоскости и содержащие одну внешнюю линию Стокса;
- b) области, содержащие область типа полосы и две примыкающие к ней области типа полуплоскости, отвечающие различным комплексам Стокса.

2) $\arg \lambda = -\pi/4$. Тогда график Стокса состоит из одного комплекса, разбивающего плоскость на четыре области типа полуплоскости (см. рис. 3). В этом случае канонические области состоят из любых двух соседних областей типа полуплоскости.

Лемма 3.3. Пусть $\lambda \in \Pi$, тогда график Стокса функции $i(z^2 - \lambda)$ обладает свойством центральной симметрии относительно начала координат.

Лемма 3.4. Пусть $\lambda \in \Pi$. Тогда изменение модуля λ при фиксированном аргументе приводит к гомотетичному изменению графа Стокса.

Figure 3: Линии Стокса в случае $\arg \lambda = -\pi/4$ (для $\lambda = 1/4 - i/4$).

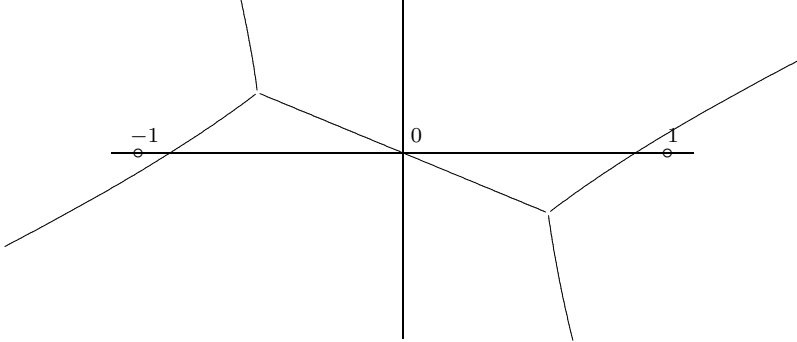
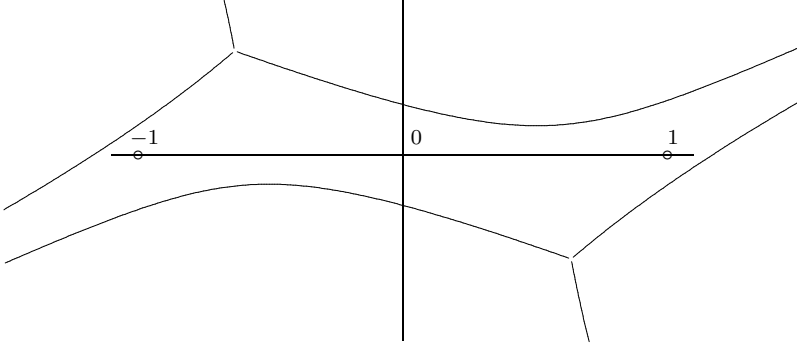


Figure 4: Линии Стокса в случае $\arg \lambda \in (-\pi/2, -\pi/4)$ (для $\lambda = 1/4 - i/2$).



Лемма 3.5. Пусть $-\pi/2 < \arg \lambda < 0$, тогда график Стокса является сложным тогда и только тогда, когда $\arg \lambda = -\pi/4$.

Лемма 3.6. Пусть $-\pi/4 < \arg \lambda < 0$, тогда внешние линии Стокса функции $i(z^2 - \lambda)$ пересекают вещественную ось.

Лемма 3.7. Пусть $-\pi/2 < \arg \lambda < -\pi/4$, тогда внешние линии Стокса функции $i(z^2 - \lambda)$ не пересекают вещественную ось.

4 Предельный спектральный граф

В данном разделе мы докажем концентрацию спектра задачи (2.3), (2.4) около предельного спектрального графа и явно опишем составляющие его кривые.

вдоль предельных спектральных кривых.

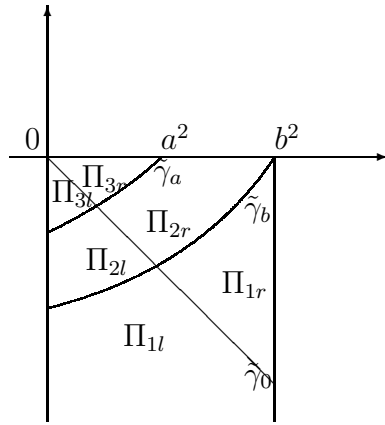
Предложение 4.1. Пусть $\xi > 0$, тогда в области

$$K = \{\lambda \in \mathbf{C} \mid \operatorname{Re} \lambda > 0, \operatorname{Im} \lambda < 0\}$$

при каждом $\psi = \arg \lambda$ найдется единственная точка кривой

$$\tilde{\gamma}_\xi = \left\{ \lambda \in K \mid \operatorname{Re} e^{\frac{\pi}{4}i} \int_{\sqrt{\lambda}}^{\xi} \sqrt{\zeta^2 - \lambda} d\zeta = 0 \right\}.$$

Figure 5: Разбиение Π критическими линиями.



Более того, все точки кривой $\tilde{\gamma}_\xi$ лежат в полосе $0 < \operatorname{Re} \lambda < \xi^2$.

Введем кривую $\tilde{\gamma}_0$: $\arg \lambda = -\pi/4$. Она разбивает Π на две подобласти: ограниченную и неограниченную. Ограниченную обозначим через Π_r , неограниченную — через Π_l . Рассмотрим две так называемых критических кривых (см. рис. 5):

$$\begin{aligned}\tilde{\gamma}_a &= \left\{ \lambda \in \Pi \mid \operatorname{Re} e^{\frac{\pi}{4}i} \int_{-\sqrt{\lambda}}^a \sqrt{\zeta^2 - \lambda} d\zeta = 0 \right\}, \\ \tilde{\gamma}_b &= \left\{ \lambda \in \Pi \mid \operatorname{Re} e^{\frac{\pi}{4}i} \int_{\sqrt{\lambda}}^b \sqrt{\zeta^2 - \lambda} d\zeta = 0 \right\}.\end{aligned}$$

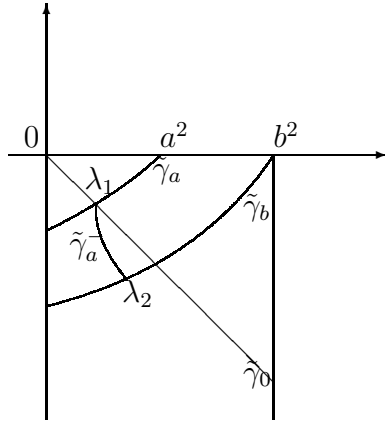
Согласно предложению 4.1 и условию $a^2 < b^2$, кривые расположены именно так, как это показано на рисунке 5. Вместе с $\tilde{\gamma}_0$ указанные кривые разбивают полуполосу на шесть областей (см. рис. 5).

Через Π_1 обозначим объединение Π_{1l} с Π_{1r} и с частью $\tilde{\gamma}_0$ так, чтобы получилась одна из трех областей, на которые разбивается Π кривыми $\tilde{\gamma}_a$ и $\tilde{\gamma}_b$. Аналогично введем Π_2 и Π_3 , содержащие в себе, соответственно, $\Pi_{2l(r)}$ и $\Pi_{3l(r)}$.

Лемма 4.1. *При всех λ из $\Pi_1, \Pi_{2r}, \Pi_{3l}, \Pi_{3r}$ точки a, b лежат в одной канонической области относительно графа Стокса.*

Доказательство. Отметим, что всюду вне $\tilde{\gamma}_0$ графы Стокса являются простыми. Для всех областей Π_{jr} утверждение очевидно в силу того, что в этих областях внешние линии пересекают график Стокса (лемма 3.7), стало быть, условие сингулярности задается кривыми $\tilde{\gamma}_a$ и $\tilde{\gamma}_b$, находящимися на границе этих областей. Далее, для всех $\lambda \in \Pi_{3l}$ ни одна из точек a и b не лежит в области типа полосы графа Стокса, следовательно, сингулярными точками могут быть лишь точки кривых $\tilde{\gamma}_a$ и $\tilde{\gamma}_b$. Следовательно, и в этой

Figure 6: Критические линии.



области нет сингулярных точек. Аналогично доказывается отсутствие сингулярных точек в Π_{1l} . Регулярность точек $\tilde{\gamma}_0 \cap \Pi_1$ очевидна при учете лемм 3.4, 3.5.

Лемма доказана. ■

Лемма 4.2. В области Π_{2l} существует кривая $\tilde{\gamma}_a^-$, задаваемая соотношением

$$\operatorname{Re} e^{\frac{\pi}{4}i} \int_{\sqrt{\lambda}}^a \sqrt{\zeta^2 - \lambda} d\zeta = 0,$$

вне которой для всех точек $\lambda \in \Pi_2 \setminus \tilde{\gamma}_a^-$ точки a, b лежат в одной канонической области относительно графа Стокса.

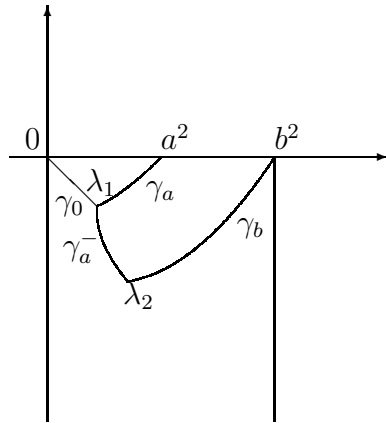
Доказательство. Действительно, при $\lambda \in \Pi_{2l}$ внешние линии Стокса не пересекают вещественную ось, а точка b находится в области типа полуплоскости относительно графа Стокса. Стало быть, принадлежность точки a комплексу Стокса, содержащему точку поворота $\sqrt{\lambda}$, задает критическое расположение пары точек a и b относительно графа Стокса с критической точкой a . Всюду вне этой кривой утверждение леммы выполнено. Лемма доказана. ■

Отметим, что $\tilde{\gamma}_a^-$ одним из концов содержит точку λ_1 пересечения $\tilde{\gamma}_a$ и $\tilde{\gamma}_0$. Можно показать, что $\tilde{\gamma}_a^-$ содержит и некоторую точку $\lambda_2 \in \tilde{\gamma}_b$ (см. рис. 6).

Лемма 4.3. Точки λ_1 и λ_2 разбивают кривые $\tilde{\gamma}_a$ и $\tilde{\gamma}_b$ на две части. При λ , лежащих в частях, примыкающих к минимум оси, точки a, b лежат в одной канонической области относительно графа Стокса.

Доказательство. Отметим, что кривая $\tilde{\gamma}_a^-$ разбивает Π_{2l} на две области: треугольник T и четырехугольник Q . При $\lambda \in Q$ точка a лежит в области типа полосы, а так как внешние линии не пересекают вещественной оси при $\lambda \in \Pi_{2l}$, то выполнение условия принадлежности b графу Стокса ($\lambda \in \tilde{\gamma}_b$) не приведет к критическому расположению пары

Figure 7: Критическое расположение пары.



точек a и b . В случае с $\tilde{\gamma}_a$ критическому расположению пары мешает принадлежность b области типа полуплоскости комплекса, содержащего $\sqrt{\lambda}$.

Лемма доказана. ■

Из приведенных выше лемм вытекает следующее важное

Следствие 4.1. *Введем следующий набор кривых:*

$$\begin{aligned}\gamma_0 &= [0, \lambda_1], \\ \gamma_a &= \{\lambda \in \tilde{\gamma}_a \mid \arg \lambda \geq \arg \lambda_1\}, \\ \gamma_a^- &= \tilde{\gamma}_a^-, \\ \gamma_b &= \{\lambda \in \tilde{\gamma}_b \mid \arg \lambda \geq \arg \lambda_2\}.\end{aligned}$$

Тогда при всех $\lambda \in \Pi$, не лежащих на указанных кривых точка a , b лежат в одной канонической области относительно графа Стокса. (см. рис. 7).

Отметим

Предложение 4.2. *При $\lambda \in \Pi \setminus \Pi_{1l}$ точки a и b не могут находиться в области типа полосы одновременно.*

Рассмотрим функции

$$\begin{aligned}\tilde{w}_1(z, \lambda, u) &= p^{-1/4} e^{+uS(z, \sqrt{\lambda})}, \\ \tilde{w}_2(z, \lambda, u) &= p^{-1/4} e^{-uS(z, \sqrt{\lambda})}.\end{aligned}$$

Функции \tilde{w}_1 , \tilde{w}_2 известны как ВКБ-приближения решений уравнения (2.3). Следующие две леммы доказаны в [5, § 3, п. 5].

Лемма 4.4. Пусть Ω — связный компакт в λ -плоскости, все точки которого допустимы в силу определения 1.9 (в нашем случае в силу замечания 1.1 компакт Ω не содержит точек λ : $\arg \lambda = -\pi/4$). Пусть $D(\lambda)$ — канонические области функции $p(z, \lambda)$, непрерывно зависящие от $\lambda \in \Omega$. Тогда существует фундаментальная система решений w_1, w_2 уравнения (2.3), для которой при $z \in D = \cap_{\lambda \in K} D(\lambda)$ справедливы асимптотики

$$w_{1,2}(z, \lambda, u) = \tilde{w}_{1,2}(z, \lambda, u) \left(1 + O\left(\frac{1}{u}\right) \right). \quad (4.5)$$

Указанные асимптотики можно дифференцировать по z, u, λ любое число раз.

Если λ_0 — недопустимая точка, то может существовать семейство канонических областей $D(\lambda)$, непрерывно зависящее от λ при $\lambda \notin I_3$, которое при $\lambda \rightarrow \lambda_0$ имеет пределом неодносвязную область, следовательно, не каноническую. Но могут также существовать области $D(\lambda)$, которые остаются непрерывными при λ , принадлежащих всему множеству I_3 или его части. В такой ситуации лемма 4.4 допускает обобщение.

Лемма 4.5. Пусть Ω — связный компакт в λ -плоскости, все точки которого либо допустимы, либо принадлежат типу I_3 (для рассматриваемого случая функции $q = x^2$ область Ω не содержит 0). Пусть канонические области $D(\lambda)$ таковы, что при $\lambda \in \Omega$ они непрерывны. Тогда справедливо утверждение леммы 4.4.

В работе [3] доказана равномерность асимптотических соотношений (4.5) как при большом параметре u , так и при большом спектральном параметре λ . Здесь мы приведем формулировку соответствующей леммы.

Лемма 4.6. Для любого K — компакта в \mathbf{C} и $u_0 > 0$ найдется число $R_0 > 0$ такое, что уравнение (2.3) будет иметь пару независимых решений:

$$U(z) = cp^{-1/4} e^{uS(z, \sqrt{\lambda})} \left(1 + \frac{\epsilon_+(z, u, \lambda)}{u\lambda} \right),$$

$$V(z) = cp^{-1/4} e^{-uS(z, \sqrt{\lambda})} \left(1 + \frac{\epsilon_-(z, u, \lambda)}{u\lambda} \right),$$

где как и ранее

$$S(z, \sqrt{\lambda}) = \Sigma(\sqrt{\lambda}, z, \lambda) = e^{\frac{\pi}{4}i} \int_{\sqrt{\lambda}}^z \sqrt{\zeta^2 - \lambda} d\zeta, \quad p(z) = i(z^2 - 1),$$

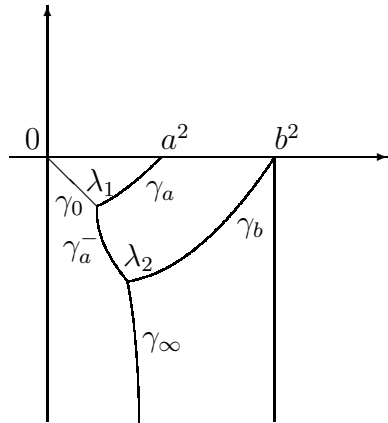
а $\epsilon_{\pm}(z, u, \lambda)$ — ограниченные функции при $z \in K$ и $|\lambda| > R_0$, $u > u_0$.

Лемма 4.7. Пусть для всех λ из некоторого замкнутого подмножества $G \subset \Pi$ точки a и b не расположены критически относительно простого графа Стокса. В этом случае либо найдется $u_0 > 0$ такое, что при $u > u_0$ множество G не будет содержать собственных значений задачи (2.3), (2.4), либо множество

$$\tau = \left\{ \lambda \in G \mid \operatorname{Re} \Sigma(\sqrt{\lambda}, a, \lambda) = \operatorname{Re} \Sigma(\sqrt{\lambda}, b, \lambda) \right\} \quad (4.6)$$

не пусто. В последнем случае для всякого $\delta > 0$ найдется $u_0 > 0$ такое, что при $u > u_0$ вне δ -окрестности τ в G не будет содержаться собственных значений задачи (2.3), (2.4)

Figure 8: Предельные спектральные кривые.



Доказательство. Обратим внимание, что те и только те λ , при которых граф Стокса является простым, являются допустимыми, в связи с чем в рассматриваемом множестве G можно применять леммы данного раздела.

После вычисления характеристического определителя с последующим его приравниванием к нулю, получим уравнение на τ .

Обратим внимание, что всюду в G мы можем пользоваться асимптотиками решений w_1 и w_2 , так как всюду в G точки a и b не расположены критически относительно графа Стокса.

Более подробное доказательство было проведено для четного профиля в работе [2].
Лемма доказана. ■

Теорема 4.1. Рассмотрим следующие кривые:

$$\begin{aligned}\gamma_0 &= [0, \lambda_1], \\ \gamma_a &= \{\lambda \in \tilde{\gamma}_a \mid \arg \lambda \geq \arg \lambda_1\}, \\ \gamma_a^- &= \tilde{\gamma}_a^-, \\ \gamma_b &= \{\lambda \in \tilde{\gamma}_b \mid \arg \lambda \geq \arg \lambda_2\},\end{aligned}$$

кроме того, введем

$$\gamma_\infty = \left\{ \lambda \in \Pi_{1l} \mid \operatorname{Re} e^{\frac{\pi}{4}i} \int_a^b \sqrt{\zeta^2 - \lambda} d\zeta = 0 \right\}.$$

Обозначим (см. рис 8)

$$\gamma = \gamma_0 \cup \gamma_a \cup \gamma_a^- \cup \gamma_b \cup \gamma_\infty.$$

Тогда для всякой δ -окрестности γ найдется $u_0 > 0$ такое, что при $u > u_0$ все точки спектра будут содержаться в этой окрестности.

Доказательство. Покажем, что в областях Π_{1r} , Π_{2l} , Π_{2r} , Π_{3l} , Π_{3r} нет точек, множества τ (4.6).

Сначала рассмотрим Π_{1r} , Π_{2r} , Π_{3r} . Указанные области лежат в угле $-\pi/4 < \arg z < 0$, следовательно, согласно лемме 3.6 для всех точек λ из этих областей внешние линии Стокса пересекают вещественную ось. Отметим, что при этом ни одна из точек a и b не может находиться в области типа полосы (ограниченной внутренними линиями Стокса), иначе бы существовала пара точек $x_{1,2}^+ > b$ (в случае принадлежности b области типа полосы), или $x_{1,2}^- < a$ (в случае принадлежности a области типа полосы) — точки пересечения комплекса Стокса с вещественной осью, из чего следовало бы противоречие с единственностью точки кривой $\tilde{\gamma}_a$ или с единственностью точки кривой $\tilde{\gamma}_b$ при фиксированном аргументе. Стало быть, между точками a и b проходит линия Стокса комплекса Стокса, выходящего из $\sqrt{\lambda}$, следовательно, знаки вещественных частей различны:

$$\operatorname{sgn} \operatorname{Re} \Sigma(\sqrt{\lambda}, a, \lambda) = -\operatorname{sgn} \operatorname{Re} \Sigma(\sqrt{\lambda}, b, \lambda)$$

при $\lambda \in \Pi_{1r} \cup \Pi_{2r} \cup \Pi_{3r}$.

Рассмотрим Π_{2l} и Π_{3l} . Отметим, что в этих областях точка b не лежит в области типа полосы, следовательно, между парой точек a и b снова лежит линия Стокса комплекса, выходящего из $\sqrt{\lambda}$ и знаки вещественных частей различаются.

Обратим внимание, что в области Π_{1l} можно применить лемму 3.7 и выбрать ветвь $\sqrt{\zeta^2 - \lambda}$ с разрезами по внешним линиям Стокса, которые не пересекут вещественной оси, в связи с чем уравнение (4.6) на τ можно заменить интегралом, определяющим γ_∞ .

Дальнейшее очевидное применение леммы 4.7 приводит к завершению доказательства. Теорема доказана. ■

Обратим внимание, что все критические кривые можно разбить на кривые трех типов:

1. Характеризуется тем, что одна из точек a или b находится на линии Стокса простого комплекса, а вторая — в той части комплексной плоскости, разбиваемой данным комплексом на три части, которая не содержит эту линию Стокса. В нашем случае такими являются кривые: γ_a , γ_a^- , γ_b .
2. Для всех точек λ кривой данного типа графы Стокса являются сложными, а пара точек a и b не лежит в одной канонической области относительно графа. В нашем случае такой кривой является γ_0 .
3. Характеризуется тем, что для всех точек λ такой кривой граф Стокса является простым, пара точек a и b лежит в одной канонической области, а сама кривая удовлетворяет уравнению (4.6) на τ . Применительно к рассматриваемому случаю такой является кривая γ_∞ .

5 Поведение спектра при $\varepsilon \rightarrow 0$

Нам потребуются утверждения о матрицах перехода, доказательства которых можно найти в монографии [5].

Пусть даны две пары (U_j, V_j) , (U_k, V_k) линейно независимых решений уравнения (2.3). Здесь индексы j и k фиксированы. Произвольное решение W этого уравнения можно

представить линейной комбинацией этих пар решений:

$$W = \alpha_j U_j + \beta_j V_j = \alpha_k U_k + \beta_k V_k.$$

Определение 5.1. Матрица $\Omega_{jk} = \Omega_{jk}(u, \lambda)$ такая, что

$$\begin{pmatrix} \alpha_k \\ \beta_k \end{pmatrix} = \Omega_{jk} \begin{pmatrix} \alpha_j \\ \beta_j \end{pmatrix}$$

для всех решений W уравнения (2.3), называется матрицей перехода от пары (U_j, V_j) к паре (U_k, V_k) . В частности, при всех $z \in \mathbf{C}$ справедливо равенство

$$\begin{pmatrix} U_j \\ V_j \end{pmatrix} = \Omega_{jk}^T \begin{pmatrix} U_k \\ V_k \end{pmatrix},$$

где Ω_{jk}^T — транспонированная матрица перехода.

Как и ранее, положим $p(z, \lambda) = i(z^2 - \lambda)$. Рассмотрим каноническую тройку (D, l, z_0) и каноническую ветвь S (в смысле определений 1.11, 1.12). Удалим из $S(D)$ левые (правые) ε -окрестности разрезов и ε -окрестности образов точек поворота. Прообраз обозначим через D_ε^+ (D_ε^-).

Определение 5.2. Бесконечный путь $\gamma^+(z) \subset D_\varepsilon^+$ ($\gamma^-(z) \subset D_\varepsilon^-$) называется положительным (отрицательным) каноническим путем для тройки (D, l, z_0) , если один из его концов совпадает с z и для канонической ветви S соотношение $\operatorname{Re} S(\zeta, z_0) \rightarrow +\infty (-\infty)$ имеет место при $\zeta \in \gamma^+(z)$ ($\zeta \in \gamma^-(z)$), $z \rightarrow \infty$.

Лемма 5.1. Пусть (D, l, z_0) — каноническая тройка, S — каноническая ветвь. Тогда при $u \gg 1$ в области D существует пара независимых решений (U, V) , именуемая канонической парой, соответствующей данной канонической тройке, асимптотически представляемых в D разложениями при $u \rightarrow +\infty$:

$$U(z, u) \sim cp^{-1/4}(z)e^{+uS(z, z_0)} \exp\left(\sum_{k=1}^{\infty} (+u)^{-k} \int_{\gamma^+(z)} \alpha_k(t) dt\right),$$

$$V(z, u) \sim cp^{-1/4}(z)e^{-uS(z, z_0)} \exp\left(\sum_{k=1}^{\infty} (-u)^{-k} \int_{\gamma^-(z)} \alpha_k(t) dt\right),$$

где

$$\alpha_1 = \frac{1}{8} \frac{p''}{p^{3/2}} - \frac{5}{32} \frac{(p')^2}{p^{5/2}}, \quad \alpha_{k+1} = -\frac{1}{2\sqrt{q}} \left(\alpha'_k + \sum_{j=0}^k \alpha_j \alpha_{k-j} \right)$$

и для удобства записи используются обозначения

$$\alpha_{-1} = \sqrt{p}, \quad \alpha_0 = -\frac{p'}{4p}.$$

Здесь $\gamma^\pm(z)$ — произвольные положительный и отрицательный канонические пути в D , а c — нормировочный коэффициент такой, что

$$|c| = 1, \quad \lim_{z \rightarrow z_0, z \in l} \arg(cp^{-1/4}(z)) = 0.$$

Замечание 5.1. Существование бесконечного числа членов в приведенных асимптотических разложениях можно доказать, в частности, для полиномиальных функций q . Однако, далее используется только первое приближение.

Определение 5.3. Пусть заданы две канонические тройки (D_j, l_j, z_j) и (D_k, l_k, z_k) . Матрицу перехода от канонической пары решений (U_j, V_j) к канонической паре (U_k, V_k) будем называть матрицей перехода от канонической тройки (D_j, l_j, z_j) к (D_k, l_k, z_k) .

Можно доказать существование четырех типов матриц перехода между каноническими тройками, из которых путем композиций получаются все другие возможные матрицы перехода. Сформулируем леммы, представляющие вид матриц в трех специальных ситуациях.

Лемма 5.2. Пусть (D, l, z_1) — первая тройка, (D, l, z_2) — вторая. Меняется лишь направление конечной линии Стокса l . Тогда

$$\Omega = e^{i\varphi_0} \begin{pmatrix} 0 & e^{-iua} \\ e^{iua} & 0 \end{pmatrix}, \quad a = |S(z_1, z_2)|, \quad e^{i\varphi_0} = c_2/c_1.$$

Лемма 5.3. Пусть (D, l_1, z_1) — первая тройка, (D, l_2, z_2) — вторая, причем лучи $S(l_1)$ и $S(l_2)$ направлены в одну сторону. Пусть l_2 находится слева от l_1 . Тогда $a = S(z_1, z_2)$, $\operatorname{Re} a > 0$ и

$$\Omega = e^{i\varphi_0} \begin{pmatrix} e^{-ua} & 0 \\ 0 & e^{ua} \end{pmatrix}, \quad e^{i\varphi_0} = c_2/c_1.$$

Лемма 5.4. Пусть z_0 — простая точка поворота (нуль первого порядка функции p), l_1, l_2, l_3 — линии Стокса с началом z_0 , l_{j+1} лежит слева от l_j . Обозначим матрицу перехода от (D_j, l_j, z_0) к (D_{j+1}, l_{j+1}, z_0) через $\Omega_{j,j+1}$. Тогда

$$\Omega_{j,j+1} = e^{-\frac{\pi}{6}i} \begin{pmatrix} 0 & \alpha_{j,j+1}^{-1} \\ 1 & i\alpha_{j+1,j+2} \end{pmatrix}, \quad \alpha_{12}\alpha_{23}\alpha_{31} = 1,$$

и справедливо асимптотическое разложение

$$\alpha_{j,j+1} \asymp \exp \left(\sum_{k=1}^{\infty} (-u)^{-k} \int_{\gamma_{j,j+1}} \alpha_k(t) dt \right). \quad (5.7)$$

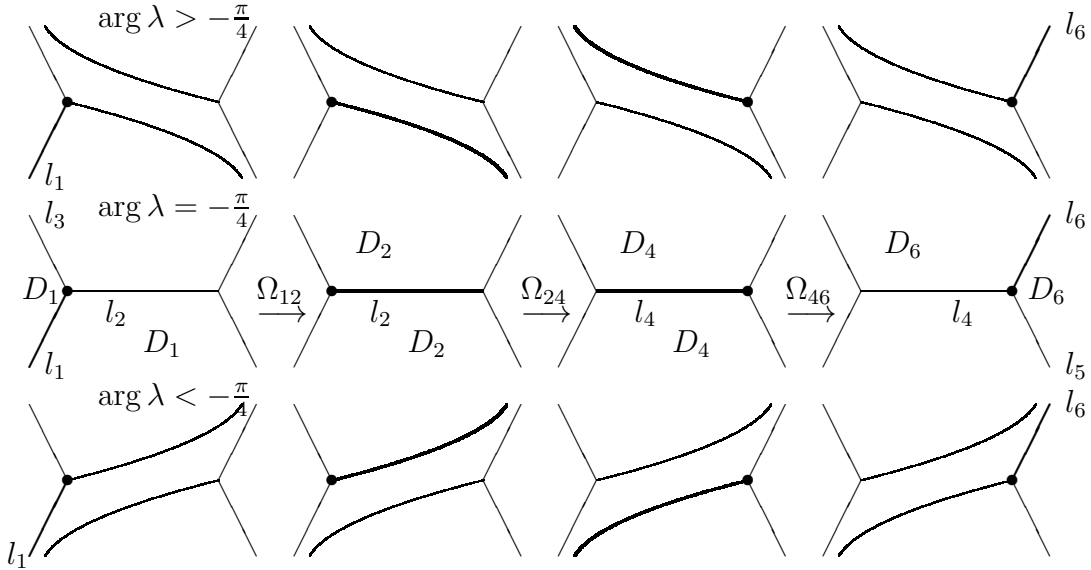
Здесь бесконечный контур $\gamma_{j,j+1}$ лежит в $D_j \cup D_{j+1}$, начинается в D_{j+1} там, где $\operatorname{Re} S \rightarrow +\infty$, и заканчивается в D_j там, где $\operatorname{Re} S \rightarrow -\infty$. Ветвь \sqrt{p} выбрана так же, как для фундаментальной системы (U_j, V_j) .

Исследования спектра на различных кривых предельного спектрального графа технически схожи, поэтому, более подробно рассмотрим наиболее сложный случай — кривой типа 2 (случай γ_0).

При движении вдоль кривой, пересекающей γ_0 , вдоль которой аргумент строго убывает, график претерпевает изменения, показанные на рис. 5. Верхний ряд соответствует тем точкам кривой, для которых $\arg \lambda > -\pi/4$; средний ряд — $\arg \lambda = -\pi/4$; нижний — $\arg \lambda < -\pi/4$.

Обозначим линии Стокса и канонические тройки так, как это сделано на рисунке 5. Индексы канонических решений положим равными индексам канонических областей.

Figure 9: Матрицы перехода и канонические области.



Лемма 5.5. Матрица Ω_{16} перехода от канонической тройки $(D_1, l_1, -\sqrt{\lambda})$ к тройке $(D_6, l_6, \sqrt{\lambda})$ выражается следующей формулой:

$$\Omega_{16}^T = \begin{pmatrix} \omega_{11} & \omega_{12} \\ \omega_{21} & \omega_{22} \end{pmatrix} = C \begin{pmatrix} -i\alpha_{45}\alpha_{64}e^{-iud} & \alpha_{64}e^{-iud} \\ \alpha_{23}\alpha_{45}\alpha_{64}e^{-iud} + \frac{1}{\alpha_{12}}e^{iud} & i\alpha_{23}\alpha_{64}e^{-iud} \end{pmatrix},$$

$$d = |\lambda| \frac{\pi}{2}.$$

Доказательство. Из обозначений для матриц, введенных на рисунке 5 следует, что

$$\Omega_{16}^T = \Omega_{12}^T \Omega_{24}^T \Omega_{46}^T = \Omega_{12}^T \Omega_{24}^T (\Omega_{64}^T)^{-1},$$

последние матрицы нам даются своими явными видами леммами 5.2 и 5.4.

$$d = \left| e^{\frac{\pi}{4}i} \lambda \int_{-1}^1 \sqrt{\zeta^2 - 1} d\zeta \right| = |\lambda| \frac{\pi}{2}.$$

Лемма доказана. ■

Рассмотрим характеристический определитель в некоторой окрестности Υ интервала в γ_0 в Π , не содержащей некоторой окрестности нуля.

$$\begin{aligned} \Delta(u, \lambda) &= \begin{vmatrix} U_1(a) & U_1(b) \\ V_1(a) & V_1(b) \end{vmatrix} = \begin{vmatrix} U_1(a) & \omega_{11}U_6(b) + \omega_{12}V_6(b) \\ V_1(a) & \omega_{21}U_6(b) + \omega_{22}V_6(b) \end{vmatrix} = \\ &= \omega_{21}U_1(a)U_6(b) + \omega_{22}U_1(a)V_6(b) - \omega_{11}V_1(a)U_6(b) - \omega_{12}V_1(a)V_6(b). \end{aligned}$$

Рассмотрим канонические ветви $S_6(-\sqrt{\lambda}, b)$ и $S_1(\sqrt{\lambda}, a)$.

Лемма 5.6. Для любого отрезка I множества γ_0 , не содержащего точек 0 и λ_1 , найдется окрестность Υ этого отрезка, для всех точек λ которой

$$\operatorname{Re} S_1(-\sqrt{\lambda}, a) > 0, \quad \operatorname{Re} S_6(\sqrt{\lambda}, b) > 0.$$

Доказательство. Немедленно следует из расположения точек a и b относительно графа Стокса при $\lambda \in \Upsilon$ и аналитичности функций.

Лемма доказана. ■

Лемма 5.7. Для любой точки $\mu \in \gamma_0$ такой, что $\mu \neq 0$ и $\mu \neq \lambda_1$, для любой окрестности O этой точки, не содержащей некоторых окрестностей нуля и λ_1 , найдутся $u_0 > 0$ и число $C > 0$ такие, что при всех $u > u_0$ окрестность O будет содержать точки спектра. Более того, если рассмотреть точки $\tilde{\lambda}_k = e^{-i\pi/4}(2k+1)/u$, то в каждой окрестности \mathcal{U}_k этих точек радиуса C/u^2 , лежащей в O , найдется и при том единственная точка спектра.

Доказательство. Рассмотрим окрестность Υ произвольного отрезка в γ_0 , содержащего μ , которую нам дает лемма 5.6. Не ограничивая общности, будем считать $O \subset \Upsilon$.

Пользуясь леммой 5.6, получим, что при $u \rightarrow +\infty$ равномерно в O справедливо асимптотическое равенство:

$$\Delta(u, \lambda) = \omega_{21} p^{-1/4}(a) p^{-1/4}(b) e^{u(S_6(b) + S_1(a))} (1 + o(e^{-u\delta})).$$

Приравняв характеристический определитель к нулю, получим эквивалентное уравнение, справедливое при $u \gg 1$ равномерно в O :

$$\omega_{21} = 0,$$

пользуясь явным видом данного элемента (см. лемму 5.5), получим

$$\frac{\alpha_{23}}{\alpha_{56}} e^{-iud} + \frac{1}{\alpha_{12}} e^{iud} = 0 \Leftrightarrow e^{2iud} = -\frac{\alpha_{31}}{\alpha_{56}},$$

или

$$e^{\pi i u e^{i\pi/4} \lambda} = -1 + O\left(\frac{1}{u}\right), \quad (5.8)$$

где функция, являющаяся равномерным $O(1/u)$, аналитическая в окрестности O . Далее воспользуемся теоремой Руше.

Лемма доказана. ■

Данная лемма очевидным образом обобщается для всякого отрезка $I \subset \gamma_0$, не содержащего точек 0 и λ_1 .

Следствие 5.1. Для любого отрезка $I \subset \gamma_0$ $0 \notin I$ и $\lambda_1 \notin I$, для любой окрестности Υ этого отрезка, не содержащей некоторых окрестностей нуля и λ_1 , найдутся $u_0 > 0$ и число $C > 0$ такие, что при всех $u > u_0$ окрестность Υ будет содержать точки спектра. Более того, если рассмотреть точки $\tilde{\lambda}_k = e^{-i\pi/4}(2k+1)/u$, то в каждой окрестности \mathcal{U}_k этих точек радиуса C/u^2 , лежащей в Υ найдется и при том единственная точка спектра.

Следующее утверждение дает нам распределение спектра в окрестности кривых γ_a , γ_a^- , γ_b .

Лемма 5.8. *Пусть кривая γ характеризуется тем, что из пары точек a, b найдется одна (обозначим ее через ξ), являющаяся при всех $\lambda \in \gamma$ критической в смысле определения 1.6. Обозначим $z_0(\lambda)$ — точка поворота, из которой исходит линия Стокса содержащая ξ . Тогда для любого интервала $I \subset \gamma$, не содержащего концевых точек γ , для любой окрестности Υ этого интервала, не содержащей некоторым окрестностям концевых точек γ , найдутся $u_0 > 0$ и число $C > 0$ такие, что при всех $u > u_0$ окрестность Υ будет содержать точки спектра. Более того, если рассмотреть точки $\tilde{\lambda}_k$, удовлетворяющие соотношению $\Sigma(\tilde{\lambda}_k, z_0(\tilde{\lambda}_k), \xi) = (\pi k - \pi/4)i/u$, то в каждой окрестности \mathcal{U}_k этих точек радиуса C/u^2 , лежащей в Υ найдется и при том единственная точка спектра.*

Доказательство. Проводится по той же схеме, что и доказательство леммы 5.7. Отметим, что матрица перехода в этом случае строится на основании леммы 5.4.

При фиксированном $\lambda \in \gamma$ линии Стокса, содержащую ξ обозначим через l_1 . Дальнейшую нумерацию будем проводить против часовой стрелки. Нумерацию канонических областей проведем аналогично условию леммы 5.4. Для удобства обозначим η — оставшаяся (после ξ) точка пары a, b . Соотношение на решения примет вид:

$$\begin{pmatrix} U_1 \\ V_1 \end{pmatrix} = e^{-\frac{\pi}{6}i} \begin{pmatrix} 0 & 1 \\ 1/\alpha_{12} & i\alpha_{23} \end{pmatrix} \begin{pmatrix} U_2 \\ V_2 \end{pmatrix}.$$

Аналогично доказательству леммы 5.7, получим соотношение:

$$\begin{aligned} e^{-u(S_1(z_0, \xi) + S_2(z_0, \eta))} &= \frac{1}{\alpha_{12}} e^{u(S_1(z_0, \xi) + S_2(z_0, \eta))} (1 + O(1/u)) + \\ &\quad + i\alpha_{23} e^{u(S_1(z_0, \xi) - S_2(z_0, \eta))} (1 + O(1/u)), \end{aligned}$$

которое, в силу того, что $S_2(z_0, \eta) < 0$ равносильно более простому:

$$e^{2uS_1(z_0, \xi)} = -i(1 + O(1/u)).$$

Применяя к последнему соотношению теорему Руше, получим утверждение леммы.

Лемма доказана. ■

Имеет место следующее

Предложение 5.1. *Пусть кривая γ характеризуется тем, что из пары точек a, b найдется одна (обозначим ее через ξ), являющаяся при всех $\lambda \in \gamma$ критической в смысле определения 1.6. Обозначим $z_0(\lambda)$ — точка поворота, из которой исходит линия Стокса содержащая ξ . Тогда функция $\Sigma(\tilde{\lambda}_k, z_0(\tilde{\lambda}_k), \xi)$, рассматриваемая как функция аргумента λ однолистна в некоторой малой окрестности γ .*

Рассмотрим функцию

$$K(\lambda) = e^{\pi i/4} \int_a^b \sqrt{\zeta^2 - \lambda} d\zeta.$$

Предложение 5.2. *Функция K является однолистной в области Π .*

Доказательство приведено в работе [2].

Для полноты картины опишем поведение спектра в окрестности кривой γ_∞ .

Лемма 5.9. *Для любого интервала I (конечного или бесконечного) $I \subset \gamma_\infty$, $\lambda_2 \notin I$, для любой окрестности Υ этого интервала, не содержащей некоторой окрестности λ_2 , найдутся $u_0 > 0$ и число $C > 0$ такие, что при всех $u > u_0$ окрестность Υ будет содержать точки спектра. Более того, если рассмотреть точки $\tilde{\lambda}_k$: $K(\tilde{\lambda}_k) = i\pi k/u$, то в каждой окрестности \mathcal{U}_k этих точек радиуса C/u^2 , лежащей в Υ , найдется и при том единственная точка спектра.*

Доказательство. Уравнение на характеристический определитель, очевидно, эквивалентно следующему:

$$e^{2uK(\lambda)} = 1 + O\left(\frac{1}{u}\right),$$

отбрасывая добавку, как и ранее, получим $2uK(\tilde{\lambda}_k) = 2\pi ki$. Пользуясь теоремой Руше, завершим доказательство. ■

Лемма доказана.

Отметим, что из следствия 5.1 и лемм 5.8, 5.9 следует следующая важная

Теорема 5.1. *Пределальная спектральная функция (в смысле определения 1.13) для каждой из критических кривых предельного спектрального графа представляется в виде*

1. В случае $\lambda \in \gamma_0$:

$$N(\lambda) = \frac{1}{2\sqrt{\varepsilon}} e^{\frac{\pi}{4}i} \lambda.$$

2. В случае $\lambda \in \gamma_a$:

$$N(\lambda) = \frac{1}{\pi\sqrt{\varepsilon}} e^{-\frac{\pi}{4}i} \int_{-\sqrt{\lambda}}^a \sqrt{\zeta^2 - \lambda} d\zeta.$$

3. В случае $\lambda \in \gamma_a^-$:

$$N(\lambda) = \frac{1}{\pi\sqrt{\varepsilon}} e^{-\frac{\pi}{4}i} \int_{\sqrt{\lambda}}^a \sqrt{\zeta^2 - \lambda} d\zeta.$$

4. В случае $\lambda \in \gamma_b$:

$$N(\lambda) = \frac{1}{\pi\sqrt{\varepsilon}} e^{-\frac{\pi}{4}i} \int_{\sqrt{\lambda}}^b \sqrt{\zeta^2 - \lambda} d\zeta.$$

5. В случае $\lambda \in \gamma_\infty$:

$$N(\lambda) = \frac{1}{\pi\sqrt{\varepsilon}} e^{-\frac{\pi}{4}i} \int_a^b \sqrt{\zeta^2 - \lambda} d\zeta.$$

Доказательство данного утверждения полностью повторяет доказательство аналогичной теоремы для случая симметричного профиля [2].

Работа поддержана грантами РФФИ N010100691 и N001596100.

References

- [1] Reddy S.G., Schmidt P.J., Henningson D.S.
Pseudospectra of the Orr–Sommerfeld operator. SIAM J. Appl. Math. 53, No 1 (1993), 15-47
- [2] Туманов С.Н.
Model problem for Poiseile profile. Critical spectrum curve. International Conference "Diff. Equations and related topics" dedicated to the Centenary Anniversary of I.G. Petrovskii. Book of Abstracts. Moscow University 2001. p 413-414.
- [3] Ўгæтннї Ҫ.Н., Ҫкгкїкнї Г.Г.
Н' саңғиңжекмннәе сиңжекиңүй бзәңквас' аңиңжекмннк' ля'һүзї һкп гау'ћиңжүйн Наај'-Лиңаеаңжаджекмнх' б сандықкөзәе Szг'ләңжеккп. Йъћжбвп ӨГН Т.66 N4 (2002)
- [4] Ўгæтннї Ҫ.Н., Ҫкгкїкнї Г.Г.
Н' киңкы'кійл'жис'и' бзәңквас' ля'һүзї Наај'-Лиңаеаңжаджекмнх' һкп гиңкмийе зібәңж Өңжекннкмнб'г'. Ағважағвізжбккїж ляңаңквкї в. 72, N2, 2002
- [5] Үжнгаоқ Ә.Н.
Г'біаевнвізжбккїж аңжевнгіл һкп жиңжекнле неглкннћиңнле һіддәңж аңжекнс'и'кмннле гау'ћиңжүйк'. Аңбккїр. Ніңкк. 1983ж.
- [6] Ҫкгкїкнї Г.Г.
Г'біаевнвізжбккнк'с сиңжекиңжүйк' биңббезжекннле ля'зәңжүйк' ніңннк' аңиңжекмннк' ля'һүзї. Ағважағвізжбккїж ляңаңквкї в. 61 1997ж., № 6 бва. 950-954